

## 薄层扫描测定复方炔诺酮庚酸酯注射液中 炔诺酮庚酸酯的薄层层析条件探讨

浙江省医学科学院 金宜幼

复方炔诺酮庚酸酯注射液(Composition Norethistorone Enanthate Injection下称Co. NET-EN. Inj)除含有NET-EN和戊酸雌二醇(Estradiol Valerate下称EV)外，尚含溶媒苯甲酸苄酯和苯甲醇。有关薄层分离国内外未见报道。Co. NET-EN. Inj内控质量标准中鉴别EV是采用苯-乙醚-冰HAC<sup>[1]</sup>(12.5:7.5:0.125)为溶剂系统，层析后NET-EN，EV等各种成份的R<sub>f</sub>值均偏高，色斑面积扩散使斑点边缘糊模，形状常呈元宝状或扁圆形，分离能力和重现性较差。本文按照Snyder方法<sup>[2]</sup>从10种溶剂系统中研究最佳组合系统。

### 方 法

一、移动相选择的方法：欲从众多溶剂系统中选取最佳组合系统，在薄层色谱中依Snyder法<sup>[2]</sup>以分离度R<sub>s</sub>来衡量。即  $R_s = \frac{1}{4} \left( \frac{\alpha - 1}{\alpha} \right) \sqrt{N} \left( \frac{k'}{1 + k'} \right)$ ， $\alpha$ 为分离因子(两溶质容量因子比k<sub>1</sub>/k<sub>2</sub>)N为理论塔板数，k'为k<sub>1</sub>k<sub>2</sub>平均值。样品分配比k'可用  $k' = \frac{t_r - t_0}{t_0}$  求出。 $t_r$ 为样品滞留时间。 $t_0$ 为未被吸附成份的滞留时间。提高分离度R<sub>s</sub>有三条途径，一是增强流动相和固定相的选择性( $\alpha$ 值)，二是增加柱效(N)，三是改变流动相。对于一个已知的样品和吸附剂，在恒定不变的操作条件下(固定N和 $\alpha$ )k'的变化影响分离的成败。务使每一组成份的k'值仍应处于最佳

范围。根据R. E. Kaiser<sup>[3]</sup>方程来计算k'与

R<sub>f</sub>值之间的关系： $k' = \frac{1 - R_f}{R_f}$

$k'$	$\infty$	9	4	2	1	0.5	0
$R_f$	0	0.1	0.2	0.333	0.5	0.666	1.0

k'值的最佳范围为0.5≤k'≤1.0。如何控制k'值可通过改变溶剂强度( $\epsilon$ )来实现。Saunders<sup>[4]</sup>经试验定k'=3时的溶剂强度为 $\epsilon_3$ 值，亦即k'=3相当于R<sub>f</sub>值=0.3~0.5。据D. Jäncchen<sup>[5]</sup>报道，在无梯度的薄层中，最大分离度R<sub>s</sub>出现在R<sub>f</sub>'(R<sub>f</sub>平均值)=0.3处，在R<sub>f</sub>'=0.1~0.6范围内能达到最大分离度R<sub>s</sub>不小于75%(见图1)，从图可得TLC的最佳范围是0.3~0.7。

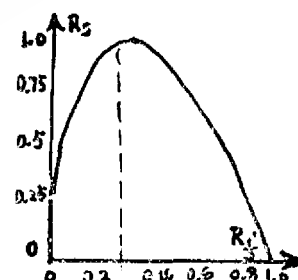


图1 在一个给定选择性时  
R<sub>s</sub>值对平均值R<sub>f</sub>的曲线

我们通过二个途径，一是更换溶剂将A系统中苯 $\epsilon^o = 0.32$ ，改用环己烷 $\epsilon^o = 0.04$ 来代替。二是改变溶剂体积配比如在青岛硅胶G上，正己烷-醋酸乙酯(1:1)展开时R<sub>f</sub>值偏大时，调正体积比为(7:3)以降低极性达到合适的强度。

二、测定法：取青岛硅胶G板，分别点上Co. NET-EN Inj乙醇溶液(含NET-EN 100 $\mu$ g、EV 10 $\mu$ g)和随行对照品NET-EN、EV、苯甲酸苄酯、苯甲醇，NET。置层析缸(Shandon Southrn TLC Chromatank 21×21×6cm)内，行70℃角上行展开至12cm取出，105℃10分钟烘干。硫酸：无水乙醇(1:1)显色，再烘10分钟，置可见光和入366下观察结果。

双波长薄层扫描测定时，在E. Merck 硅胶 HF254 + 366上采用正己烷-醋酸乙酯(1:1)溶剂系统层析。NET-EN点样量在15 $\mu$ g以下。扫描波长为240nm，参比波长为350nm。

## 结果与讨论

一、10种溶剂组合系统筛选实验：A、苯-乙醚-冰醋酸(12.5:7.5:0.125)，B、环己烷-乙醚-冰HAC(10:10:0.1)，C、环己烷-醋酸乙酯<sup>[6]</sup>(7:3)，D、正己烷-醋酸乙酯(7:3)，E、苯-丙酮(9:1)，F、正己烷-醋酸乙酯(1:1)，G、苯-无水乙醇(9:1)，H、二氯甲烷-乙醚-甲醇(15:4:0.1)，I、石油醚-无水乙醇(20:0.5)，J、环己烷-氯仿-丙酮(8:6:6)下称A、B、C、D、E、F、G、H、I、J系统，每种溶剂系统在青岛硅胶G板上重复六次实验，结果见图2、图3。

二、在E. Merck 硅胶 HF254 + 366上正己烷-醋酸乙酯溶剂系统(1:1)层析后扫描。结果见图4。

结果表明：按照Snyder方法选取最佳组合系统，用环己烷代替苯的B系统，调正体积配比的C、D系统经六次重复试验R<sub>f</sub>值±0.02均获得与对照品相应颜色斑点的R<sub>f</sub>值。用展开剂B时，NET-EN，R<sub>f</sub>值=0.44，EV=0.63，两者的ΔR<sub>f</sub>值之差为0.19，其他各种成份的色斑分开的距离均大，色斑清晰圆而集中获得令人满意的效果。展开剂

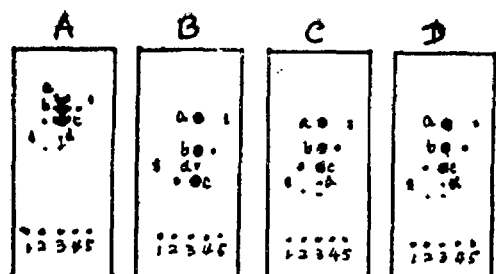


图2 Co. NET-EN. Ing的TLC分离

- 1) Benzyl alc 2) NET-EN 3) Co. NET-EN Inj 4) EV 5) Benzyl Benzoate;
- a) Benzyl Benzoate b) EV c) NET-EN d) Benzyl alc

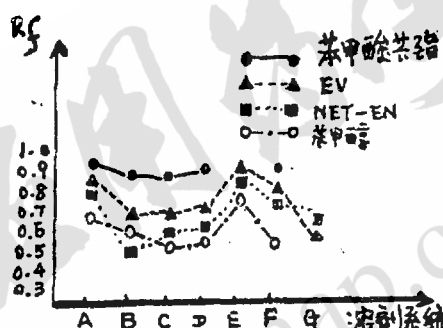


图3 改变溶剂系统Co. NET-EN. Inj R<sub>f</sub>值变化图

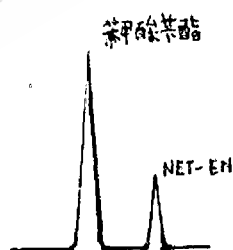


图4 正己烷-醋酸乙酯(1:1)层析  
Co. NET-EN. Inj直线扫描图

C和D溶剂系统中，正己烷 $\epsilon^{\circ}=0.01$ ，环己烷 $\epsilon^{\circ}=0.04$ 有近似的溶剂强度，层析后NET-EN与EV R<sub>f</sub>值之差均>0.09，显示了预期良好的分离效果。而内控质量标准使用A系统使各成份位置偏高，斑点扩散使斑点与斑点之间的边缘模糊常常呈现元宝状或扁

(下转第24页)

圆形，分离能力和重现性较差。在F、G系统中丙酮 $\epsilon^{\circ} = 0.56$ ，乙醇 $\epsilon^{\circ} = 0.88$ ，分离效果F较G好，G系统固然能使NET-EN和EV很好的分离，但其他成份由于扩散不能很好的分离。H-J系统使 $R_f$ 值偏高(在溶剂前沿)或偏低甚至不能很好的分离。

展开剂和吸附剂的选择是薄层层离的关键因素，溶剂强度及配比影响薄层分离的成败。图3、图4表明正己烷-醋酸乙酯的D、E系统，在青岛硅胶G上，E系统使各成份 $R_f$ 值偏高。而在E. Merck 硅胶 HF254 + 366上则为理想展开剂，分离效果NET-EN  $R_f$ 值=0.45，苯甲酸苄酯 $R_f$ =0.71，两者之差为0.26，NET-EN点样量在15 $\mu\text{g}$ 以下，呈黄色斑点的EV不出峰，不干扰测定。欲获得高度重现性的薄层条件如温度，板厚度、以及溶剂的其他物理参数比重、沸点、粘度、

蒸汽压对最后的结果均带来影响。

## 参 考 文 献

- [1] 中国药典1985年版，73页。
- [2] L. R Snyder: The Role of the Mobile Phase in Liquide Chromatography, in J. J. Kirkland Edr Moder Practice of Liquide Chromatography 1971, pp125—131.
- [3] R. E. Kaiser:Simplified Theory of TLC in A. Zlatkis & R. E. Kaiser, ed. HPTLC High Performance Thin-Layer Chromatography, Journal of Chromatography Library-Vol 9, 1977, 17—18.
- [4] Saunders D. L: Anal Chem 1974, 46:470.
- [5] D. Janchen: Considerations on The Reproducibility of Thin-Layer Chromatographic Separations, in A. Zlatkis & R. E. Kaiser, ed. HPTLC High Performance Thin-Layer Chromatography, Journal of chromatography Library Vol 9, pp131—133, 1977.
- [6] U. S. P XXI 1985, 400.